

НЕЛИНЕЙНАЯ
АКУСТИКА

УДК 534.213

ГЕНЕРАЦИЯ ВЫСШИХ ГАРМОНИК ПРИ РЕЗОНАНСНЫХ
КОЛЕБАНИЯХ В ТРУБЕ С ОТКРЫТЫМ КОНЦОМ

© 2017 г. Л. А. Ткаченко*, **, С. А. Фадеев**

*Институт механики и машиностроения Казанского научного центра РАН
420111 Казань, ул. Лобачевского 2/31

**Казанский федеральный университет
420008 Казань, ул. Кремлевская 16а

E-mail: luda_tkachenko@inbox.ru, fadeev.sergei@mail.ru

Поступила в редакцию 18.03.2016 г.

Представлена теория резонансных колебаний на удвоенной и утроенной частотах в трубе, открытой на одном конце. Граничное условие на открытом конце получено с учетом полигармоничности колебаний скорости на открытом конце и не содержит эмпирические параметры. Достигнуто хорошее качественное и количественное совпадение теоретических и экспериментальных результатов.

Ключевые слова: резонансные колебания газа, открытая труба, скорость, давление, вторая и третья гармоники.

DOI: 10.7868/S0320791916060174

Интерес к колебаниям в трубах обусловлен их влиянием на интенсивность процессов теплообмена и на динамику тонкостенных конструкций [1–3]. Исследованию их посвящено большое количество работ, часть из которых можно найти в обзорах [4–7]. Нелинейность уравнений движения (внутритрубная нелинейность) и граничных условий обуславливают появление акустотермического эффекта [8, 9], стационарных вторичных течений [10–12], субгармонических колебаний [13, 14]. В случае колебаний в трубе с открытым концом наблюдается пульсирующая струя [15, 16]. Генерация высших гармоник является также одним из нелинейных эффектов. Основываясь на нелинейной теории Честера [17] для резонансных колебаний в трубе с открытым концом, авторам [18] удалось выделить колебания на основной частоте ω (ω – циклическая частота), на частотах 2ω и 3ω , и экспериментально определить эмпирические параметры, имеющиеся в нелинейном граничном условии [17] на открытом конце. Получено удовлетворительное согласие теоретических и экспериментальных данных, соответствующих колебаниям на частотах ω и 2ω . Расхождение данных, относящихся к колебанию на частоте 3ω , достигает неприемлемой величины в 60%. Причина этого заключается, с одной стороны, в том, что граничное условие на открытом конце задается с помощью двух эмпирических параметров, с другой стороны, колебания скорости на открытом конце полагаются гармоническими, а не полигармоническими.

В настоящей работе ставится задача рассчитать колебания на частотах 2ω , 3ω при гармонических колебаниях поршня на частоте ω . При этом граничное условие на открытом конце не должно содержать каких-либо эмпирических параметров, а колебания скорости должны быть полигармоническими, т.е. содержать вклад высших гармоник.

Рассмотрим резонансные колебания в длинной цилиндрической трубе с радиусом R , существенно меньшим по сравнению с ее длиной L_0 . На одном конце трубы расположен гармонически колеблющийся поршень с амплитудой смещения l_0 , причем $l_0 \ll L_0$. Для описания колебаний вводятся параметры [19]

$$\begin{aligned} M_p &= \omega l_0 / c_0, & H &= R\sqrt{\omega/v}, \\ \varepsilon &= V/\omega L, & \text{Sh} &= \omega R/V, \end{aligned} \quad (1)$$

где M_p – число Маха для поршня; H – частотный параметр; ε – параметр, описывающий нелинейность внутри трубы; Sh – число Струхалия, описывающее нелинейность на открытом конце; c_0 – скорость звука в невозмущенном газе; v – коэффициент кинематической вязкости; V – амплитуда колебаний скорости на открытом конце на частоте ω ; $L = L_0 + \sigma_0 R$ – эффективная длина трубы, σ_0 – поправка Рэлея.

Принятые условия обеспечивают $M_p \ll 1$, $\text{Sh} \ll 1$. Положим также, что толщина акустического пограничного слоя мала по сравнению с ра-

диусом, т.е. $H \gg 1$. Наконец примем, что амплитуда колебаний скорости на открытом конце существенно меньше скорости звука, так что $\varepsilon \ll 1$, тогда при решении задачи можно использовать метод возмущений.

Рассмотрим граничные условия.

Пусть смещения поршня заданы в виде $x_p = l_0 \sin \omega t$, тогда безразмерная скорость поршня имеет вид $\tilde{u}_p = M_p \cos \omega t$. Особенность этого условия состоит в том, что скорость задана в точке, которая сама совершает колебания. Переход к эйлеровым координатам совершается по формуле [4]

$$M_p \cos \omega t \approx \tilde{u}(0, t) + x_p \left. \frac{\partial \tilde{u}(x, t)}{\partial x} \right|_{x=0} + \dots \quad (2)$$

Пусть ведущие члены в колебаниях скорости заданы в виде

$$\begin{aligned} \tilde{u}(x, t) \approx & r_1 \sin(k_0 x + \alpha_1) \sin \omega t + r_2^{(2)} \times \\ & \times \sin(2k_0 x + \alpha_2) \sin 2\omega t + \\ & + r_3^{(2)} \sin(3k_0 x + \alpha_3) \sin 3\omega t, \quad \alpha_i \ll 1, \end{aligned} \quad (3)$$

где $k_0 = \omega/c_0$ – волновое число в идеальной жидкости; r_i, α_i – константы интегрирования. Подставляя (3) в (2), можно получить

$$\begin{aligned} \tilde{u}(0, t) = & M_p \cos \omega t - \\ & - 0.5M_p r_1 \cos 2\omega t - M_p r_2^{(2)} \cos 3\omega t, \end{aligned} \quad (4)$$

откуда

$$\tilde{u}_1(0, t) = M_p \cos \omega t, \quad (5)$$

$$\tilde{u}_2(0, t) = -0.5M_p r_1 \cos 2\omega t, \quad (6)$$

$$\tilde{u}_3(0, t) = -M_p r_2^{(2)} \cos 3\omega t, \quad (7)$$

где нижние индексы указывают на номер гармоники, $\tilde{u}_i = u_i/c_0$ – безразмерная скорость.

Методика расчета граничного условия на открытом конце при гармонических колебаниях скорости дана в работе [20]. Она базируется на представлении о струйном характере истечения и сферическом втекании в сток, расположенный в выходном сечении трубы. Эта асимметрия приводит, во-первых, к появлению в скорости струи постоянной составляющей и, во-вторых, к тому, что на расстояниях $x_L \geq 3R$ от выходного сечения спектральный состав скорости струи перестает зависеть от x_L . Тогда давление в выходном сечении можно найти из выражения

$$\tilde{p}(L, t) = 0.5\tilde{u}_L^2(x_L \approx 3R, t) - 0.5\tilde{u}^2(L, t), \quad (8)$$

где $\tilde{p}(L, t) = p(L, t)/\rho_0 c_0^2$.

Пусть теперь скорость на открытом конце (в выходном сечении) содержит колебания на частотах $\omega, 2\omega, 3\omega$

$$\tilde{u}(L, t) = r_1 \sin \omega t + r_2 \sin 2\omega t + r_3 \sin 3\omega t, \quad (9)$$

где r_1, r_2, r_3 – соответствующие безразмерные амплитуды гармоник скорости на открытом конце. Спектральное разложение скорости в пульсирующей струе на расстоянии $x_L \approx 3R$ будет иметь вид

$$\begin{aligned} \tilde{u}(x_L \approx 3R, t) = & r_1 [(0.5m_0 + a_0) + (0.5 + a_1) \times \\ & \times \sin \omega t + a_2 \cos 2\omega t + a_3 \sin 3\omega t + \\ & + a_4 \cos 4\omega t + a_5 \sin 5\omega t] + \\ & + r_2 [c_1 \cos \omega t + c_2 \sin 2\omega t + c_3 \cos 3\omega t] + \\ & + r_3 [d_0 + d_2 \cos 2\omega t + d_3 \sin 3\omega t]. \end{aligned} \quad (10)$$

Первый член в квадратных скобках справа был получен ранее [20]. Второй и третий члены представляют вклад второго и третьего слагаемых в (9); a_i, c_i, d_i – коэффициенты разложения Фурье; m_0 – коэффициент пропорциональности между постоянной составляющей скорости и амплитудой колебаний скорости газа на открытом конце трубы, для параметров установки [18] ($L_0 = 1.7065$ м, $l_0 = 2.9 \times 10^{-3}$ м) $m_0 = 0.228$ [20]. Подставим (9), (10) в (8) и выделим члены, принадлежащие колебаниям соответствующих частот.

Граничное условие на частоте ω имеет вид [20]

$$\tilde{p}_1(L, t) = m r_1 \tilde{u}_1(L, t), \quad (11)$$

где коэффициент m определяется как

$$m = (0.5 + a_1)(0.5m_0 + a_0 + 0.5a_2).$$

Заметим, что ведущие члены в граничном условии для колебаний на частотах 2ω и 3ω имеют порядок r_1^2 , тогда

$$r_2 \sim r_1^2, \quad r_3 \sim r_1^2.$$

Колебание на частоте 2ω нерезонансное, поэтому ради простоты ограничимся в граничном условии для него квадратичным членом:

$$\tilde{p}_2(L, t) = b_2 r_1^2 \cos 2\omega t. \quad (12)$$

Колебание на частоте 3ω резонансное, поэтому в граничном условии целесообразно сохранить, помимо квадратичных, члены третьего порядка. Тогда получим

$$\begin{aligned} \tilde{p}_3(L, t) = & b_3 r_1^2 \sin 3\omega t + \\ & + f r_1 r_2 \cos 3\omega t + g r_1 r_3 \sin 3\omega t, \end{aligned} \quad (13)$$

где

$$\begin{aligned} b_3 = & 0.5[2(0.5m_0 + a_0)a_3 + \\ & + (0.5 + a_1)a_2 - (0.5 + a_1)a_4 + a_2 a_5], \end{aligned}$$

$$\begin{aligned} f = & [(0.5m_0 + a_0)c_3 - 0.5(0.5 + a_1)c_2 + \\ & + 0.5a_2 c_1 + 0.5], \quad g = [(0.5m_0 + a_0)d_3 + \\ & + 0.5(0.5 + a_1)d_2 + a_3 d_0]. \end{aligned}$$

Решения уравнений первого (акустического) приближения даны в [21]. В случае $H \gg 1$ они принимают вид

$$\begin{aligned} p_1 &= \rho_0 c_0^2 r_1 \cos z_1 \exp i(\omega t + \psi_1), \\ u_1 &= r_1 c_0 \sin z_1 (1 - \exp[-(1+i)\eta]) \exp i(\omega t + \\ &+ \psi_1 - \pi/2), \quad \rho_1 = \frac{p_1}{c_0} (1 + (\kappa - 1) \exp[-(1+i) \times \\ &\times \eta \sqrt{\sigma}]), \quad T_1 = \frac{p_1}{\rho_0 c_p} (1 - \exp[-(1+i)\eta \sqrt{\sigma}]), \end{aligned} \quad (14)$$

где $z_1 = k_0 x \times (1 + \beta'_1 + i\beta''_1) + \alpha_1 + i\beta_1$, $k_0 = \omega/c_0$ – волновое число, $\beta'_1 = (\delta/2R)(1 + (\kappa - 1)/\sqrt{\sigma})$ – дисперсия, $\beta''_1 = -\beta'_1$ – коэффициент поглощения, $\eta = (R - r)/\delta$ – безразмерная радиальная координата, $\delta = \sqrt{2\nu/\omega}$ – толщина акустического пограничного слоя, σ – число Прандтля, $\kappa = c_p/c_v$ – показатель адиабаты, c_p, c_v – удельные теплоемкости при постоянном давлении и объеме соответственно, α_1, β_1 – константы интегрирования, r_1, ψ_1 – модуль и главное значение аргумента безразмерной амплитуды колебаний.

Для определения констант $\alpha_1, \beta_1, r_1, \psi_1$ выражение для скорости в (14) усредняем по сечению и используем граничные условия (5) и (11) [20]. В результате получим

$$\begin{aligned} \alpha_1 &= \frac{\pi}{2} - k_0 L (1 + \beta'_1), \quad \beta_1 = k_0 L \beta'_1 + m r_1, \\ r_1 \left\{ \cos^2 k_0 L (1 + \beta'_1) + (k_0 L \beta'_1 + m r_1)^2 \times \right. \\ &\times \left. \sin^2 k_0 L (1 + \beta'_1) \right\}^{1/2} = M_p, \\ \psi_1 &= \arctg(\tg \alpha_1 \text{cth} \beta_1). \end{aligned} \quad (15)$$

При точном резонансе

$$\begin{aligned} \alpha_1 &= 0, \quad \beta_1 = k_0 L \beta'_1 + m r_1, \quad r_1 = \frac{1}{2m} \times \\ &\times \left\{ \left[(k_0 L \beta'_1)^2 + 4m M_p \right]^{1/2} - k_0 L \beta'_1 \right\}, \quad \psi_1 = 0. \end{aligned} \quad (16)$$

Из (16) следует, что для идеальной жидкости ($\beta''_1 = 0$) связь между r_1 и M_p является квадратичной

$$r_1^2 \sim M_p,$$

тогда вместо (6) и (7) можно записать

$$\tilde{u}_2(x, t) \equiv 0 \quad (17)$$

и

$$\tilde{u}_3(x, t) \equiv 0. \quad (18)$$

Для описания колебаний на частотах 2ω и 3ω воспользуемся системой уравнений, описывающих осредненное по сечению движение газа в трубе [22]. Применим к ним метод возмущений. В результате для колебаний на частоте 2ω будем иметь

$$\begin{aligned} \rho_0 \frac{\partial \bar{u}_2}{\partial t} + \frac{\partial p_2}{\partial x} + \frac{2\tau_{w2}}{R} &= -\frac{\partial(\rho_1 \bar{u}_1)}{\partial t} - \frac{\partial(\rho_0 \bar{u}_1^2)}{\partial x}, \\ \frac{\partial p_2}{\partial t} + \kappa p_0 \frac{\partial \bar{u}_2}{\partial x} - \frac{2(\kappa - 1)q_{w2}}{R} &= -\kappa p_1 \frac{\partial \bar{u}_1}{\partial x} - \bar{u}_1 \frac{\partial p_1}{\partial x}, \end{aligned} \quad (19)$$

где $\tau_{w2} = -\mu \frac{\partial u_2}{\partial r} \Big|_w$ – касательное напряжение, $q_{w2} = \lambda \frac{\partial T_2}{\partial r} \Big|_w$ – тепловой поток, нижний индекс w соответствует положению на стенке, черта сверху – осреднению по сечению трубы.

Из (14) легко видеть, что выражения $\exp[-(1+i)\eta]$, $\exp[-(1+i)\eta\sqrt{\sigma}]$ при осреднении по сечению трубы дадут вклад порядка $\delta/R \sim (1/H) \ll 1$, которым можно пренебречь. Тогда, полагая

$$\begin{aligned} p_2(x, t) &= p_2(x) \exp 2i\omega t, \quad u_2(x, t) = \\ &= u_2(x) \exp 2i\omega t, \quad \tau_{w2} = \rho_0 u_2(x) (1+i)\sqrt{\nu\omega} \times \\ &\times \exp 2i\omega t, \quad q_{w2} = -(1+i)p_2(x)\sqrt{a\omega} \exp 2i\omega t, \end{aligned} \quad (20)$$

получим

$$\begin{aligned} 2\rho_0 i\omega u_2(x) + \frac{dp_2(x)}{dx} + \frac{2\rho_0(1+i)}{R} u_2(x)\sqrt{\nu\omega} &= 0, \\ 2i\omega p_2(x) + \rho_0 c_0^2 \frac{du_2(x)}{dx} + \frac{2(\kappa - 1)}{R} \times \\ &\times (1+i)p_2(x)\sqrt{a\omega} = \frac{i r_1^2 \rho_0 c_0^2 \omega}{4} \times \\ &\times [(\kappa - 1) + (\kappa + 1) \cos 2z_1]. \end{aligned} \quad (21)$$

Исключим из системы (21) давление $p_2(x)$, тогда для скорости $u_2(x)$ будем иметь

$$\begin{aligned} \frac{d^2 u_2(x)}{dx^2} + 4k_0^2 (1 + \beta'_2 + i\beta''_2)^2 u_2(x) &= \\ = -\frac{i\omega^2 r_1^2}{2c_0} (\kappa + 1) \sin 2z_1, \end{aligned} \quad (22)$$

где $\beta'_2 = -\beta''_2 = (\delta_2/2R)(1 + (\kappa - 1)/\sqrt{\sigma})$, $\delta_2 = \sqrt{\nu\omega}$.

Решая однородное дифференциальное уравнение

$$\frac{d^2 u_2(x)}{dx^2} + 4k_0^2 (1 + \beta'_2 + i\beta''_2)^2 u_2(x) = 0, \quad (23)$$

нетрудно убедиться, что оно имеет только тривиальное решение, т.е. величина $2k_0 L(1 + \beta'_1) = \pi$ не является собственным значением (22), и колеба-

ния будут характеризоваться частным решением уравнения

$$\frac{d^2 u_2(x)}{dx^2} + 4k_0^2 (1 + \beta_1' + i\beta_1'')^2 u_2(x) = -\frac{i\omega^2 r_1^2}{2c_0} (\kappa + 1) \sin 2z_1. \quad (24)$$

Введем новую переменную $y = 2k_0 x \times (1 + \beta_1' + i\beta_1'')$, при этом в правой части сохраним только ведущие члены, положив $\beta_1' = 0$. Тогда имеем

$$u_2''(y) + u_2(y) = A \sin 2z_1, \quad A = -\frac{ic_0(\kappa + 1)r_1^2}{8}. \quad (25)$$

Решение (25) в безразмерной форме имеет вид

$$\tilde{u}_2(y) = C_1 \sin y + C_2 \cos y - \frac{0.5Ay}{c_0} \cos(y + 2\alpha_1 + 2i\beta_1). \quad (26)$$

Колебания давления можно определить из второго уравнения системы (21):

$$\begin{aligned} \tilde{p}_2(y) = & iC_1 \cos y - iC_2 \sin y + \frac{(\kappa - 1)r_1^2}{8} + \\ & + \frac{(\kappa + 1)r_1^2}{16} [\cos(y + 2\alpha_1 + 2i\beta_1) + \\ & + y \sin(y + 2\alpha_1 + 2i\beta_1)]. \end{aligned} \quad (27)$$

Константы C_1 и C_2 можно найти, если подставить выражения (26) и (27) в граничные условия (12) и (17). Удерживая лишь члены порядка r_1^2 , для колебаний скорости и давления получим

$$\begin{aligned} \tilde{u}_2(\bar{x}) = & \frac{ir_1^2}{16} \left\{ (16b_2 - \kappa + 3) \sin 2k_0 L(1 + \beta_1')(1 - \bar{x}) + \right. \\ & \left. + (\kappa + 1) \left[\pi - 2k_0 L(1 + \beta_1')(1 - \bar{x}) \right] \times \right. \\ & \left. \times \cos 2k_0 L(1 + \beta_1')(1 - \bar{x}) \right\}, \quad \tilde{p}_2(\bar{x}) = \frac{r_1^2}{16} \times \\ & \times \left\{ (16b_2 + 2 - 2\kappa) \cos 2k_0 L(1 + \beta_1')(1 - \bar{x}) + \right. \\ & \left. + 2(\kappa - 1) + (\kappa + 1) \left[\pi - 2k_0 L(1 + \beta_1')(1 - \bar{x}) \right] \times \right. \\ & \left. \times \sin 2k_0 L(1 + \beta_1')(1 - \bar{x}) \right\}, \end{aligned} \quad (28)$$

где $\bar{x} = x/L_0$.

При точном резонансе $k_0 L(1 + \beta_1') = \pi/2$ вместо (28) имеем

$$\begin{aligned} \tilde{u}_2(\bar{x}) = & \frac{ir_1^2}{16} [(16b_2 - \kappa + 3) \sin \pi \bar{x} + (\kappa + 1) \times \\ & \times \pi \bar{x} \cos \pi \bar{x}], \quad \tilde{p}_2(\bar{x}) = \frac{r_1^2}{16} [(2\kappa - 2 - 16b_2) \times \\ & \times \cos \pi \bar{x} + (\kappa + 1) \pi \bar{x} \sin \pi \bar{x} + 2\kappa - 2]. \end{aligned} \quad (29)$$

Рассмотрим колебания на частоте 3ω . Правые части уравнений, описывающих эти колебания, имеют третий порядок малости, тогда как в граничном условии на открытом конце ведущие члены имеют второй порядок. Это означает, что нет необходимости решать полную систему уравнений, достаточно рассмотреть однородную систему второго порядка

$$\rho_0 \frac{\partial u_3^{(2)}}{\partial t} + \frac{\partial p_3^{(2)}}{\partial x} + \frac{2\tau_{w3}^{(2)}}{R} = 0, \quad (30)$$

$$\frac{\partial p_3^{(2)}}{\partial t} + \kappa \rho_0 \frac{\partial u_3^{(2)}}{\partial x} - \frac{2(\kappa - 1)q_{w3}^{(2)}}{R} = 0,$$

где нижний индекс относится к номеру гармоники, верхний – к порядку приближения. Здесь, так же как и в случае колебания на частоте 2ω , можно положить

$$\begin{aligned} p_3^{(2)}(x, t) = & p_3^{(2)}(x) \exp 3i\omega t, \\ u_3^{(2)}(x, t) = & u_3^{(2)}(x) \exp 3i\omega t, \\ \tau_{w3}^{(2)} = & \rho_0 u_3^{(2)}(x) (1 + i) \sqrt{3\nu\omega/2} \exp 3i\omega t, \\ q_{w3}^{(2)} = & -(1 + i) p_3^{(2)}(x) \sqrt{3a\omega/2} \exp 3i\omega t. \end{aligned} \quad (31)$$

Тогда будем иметь

$$\begin{aligned} 3\rho_0 i\omega u_3^{(2)}(x) + \frac{dp_3^{(2)}(x)}{dx} + \frac{2\rho_0(1+i)}{R} u_3^{(2)}(x) \sqrt{3\nu\omega/2} = 0, \\ 3i\omega p_3^{(2)}(x) + \rho_0 c_0^2 \frac{du_3^{(2)}(x)}{dx} + \\ + \frac{2(\kappa - 1)}{R} (1 + i) p_3^{(2)}(x) \sqrt{3a\omega/2} = 0. \end{aligned} \quad (32)$$

Исключая из (32) давление, можно получить уравнение для амплитуды колебаний скорости. В безразмерной форме оно примет вид

$$\frac{d^2 \tilde{u}_3^{(2)}(x)}{dx^2} + 9k_0^2 (1 + \beta_3' + i\beta_3'')^2 \tilde{u}_3^{(2)}(x) = 0, \quad (33)$$

где $\beta_3' = -\beta_3'' = (\delta_3/2R)(1 + (\kappa - 1)/\sqrt{\sigma})$, $\delta_3 = \sqrt{2\nu/3\omega}$.

Решение (33) ищем в виде

$$\begin{aligned} \tilde{u}_3^{(2)}(x) = & r_3^{(2)} \sin \left[3k_0 x (1 + \beta_3' + i\beta_3'') + \right. \\ & \left. + \alpha_3 + i\beta_3 \right] \exp i(\psi_3 - \pi/2). \end{aligned} \quad (34)$$

Можно показать, что безразмерная амплитуда колебаний давления определяется по формуле

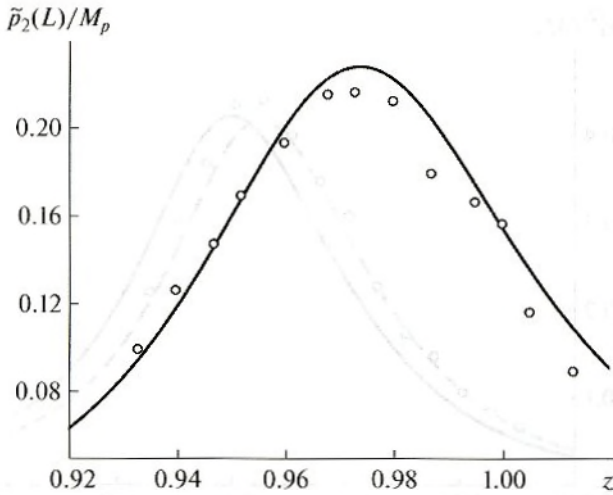


Рис. 1. Зависимость $\tilde{p}_2(L)/M_p$ от безразмерной частоты z для трубы длиной $L_0 = 1.7065$ м с амплитудой смещения поршня $l_0 = 2.90$ мм. Сплошная линия – теория (28), точки – экспериментальные результаты [18].

$$\tilde{p}_3^{(2)}(x) = r_3^{(2)} \times \cos \left[3k_0 x \left(1 + \beta_3' + i\beta_3'' \right) + \alpha_3 + i\beta_3 \right] \exp i\psi_3. \quad (35)$$

Подставляя (34) в граничное условие на поршне (18), сразу получаем

$$\alpha_3 = 0, \beta_3 = 0. \quad (36)$$

В граничном условии на открытом конце (13) присутствуют неизвестные величины r_2 и r_3 . В случае r_2 достаточно умножить первое из выражений (29) в точке $\bar{x} = 1$ на $\exp 2i\omega t$, выделить в полученном выражении реальную часть и сопоставить последнюю с формулой (9). Тогда имеем

$$r_2 = -\frac{\kappa + 1}{16} \pi r_1^2. \quad (37)$$

Аналогичная процедура с соотношением (34) ведет к зависимостям

$$r_3 = r_3^{(2)} \sin 3k_0 L \left(1 + \beta_3' \right), \psi_3 \equiv 0. \quad (38)$$

С учетом (37) и (38) граничное условие на открытом конце (13) приводится к виду

$$r_3^{(2)} = \frac{r_1^2 \left[b_3^2 + \left((\kappa + 1)\pi f r_1 / 16 \right)^2 \right]}{\cos^2 3k_0 L \left(1 + \beta_3' \right) + \left(3k_0 L \beta_3' + g r_1 \right) \sin^2 3k_0 L \left(1 + \beta_3' \right)}. \quad (40)$$

Анализ показывает, что $(\kappa + 1)\pi f r_1 / 16 \ll b_3$, тогда с достаточной точностью вместо (40) можно пользоваться выражением

$$r_3^{(2)} = \frac{r_1^2 b_3}{\cos^2 3k_0 L \left(1 + \beta_3' \right) + \left(3k_0 L \beta_3' + g r_1 \right) \sin^2 3k_0 L \left(1 + \beta_3' \right)}. \quad (41)$$

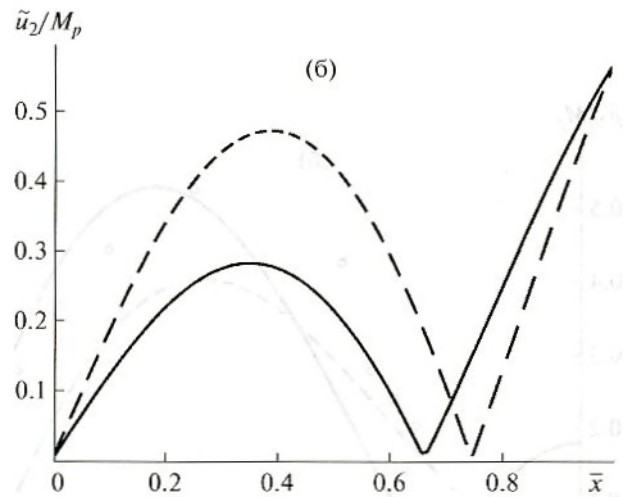
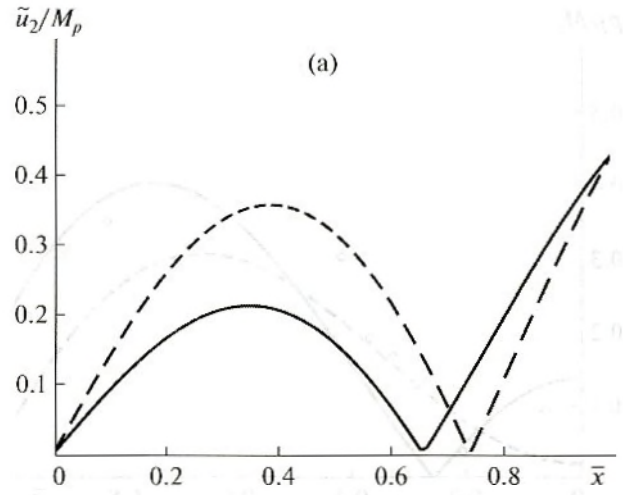


Рис. 2. Распределение скорости \tilde{u}_2/M_p по длине трубы для $L_0 = 1.7065$ м (а) и $L_0 = 1.2864$ м (б). Сплошная линия – теория (29) в случае $b_2 = 0.25$, штриховая линия – теория (29) в случае $b_2 = 0.08$.

$$\tilde{p}_3^{(2)}(L) = -ib_3 r_1^2 - \frac{\kappa + 1}{16} \pi r_1^3 f - i g r_1 r_3^{(2)} \sin 3k_0 L \left(1 + \beta_3' \right). \quad (39)$$

Для $r_3^{(2)}$ получим

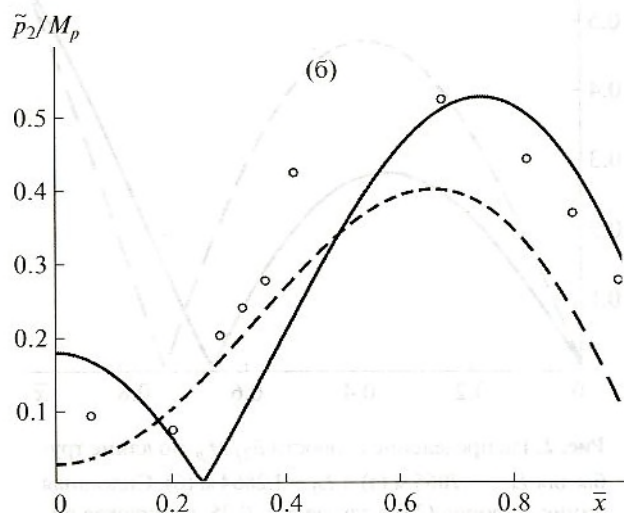
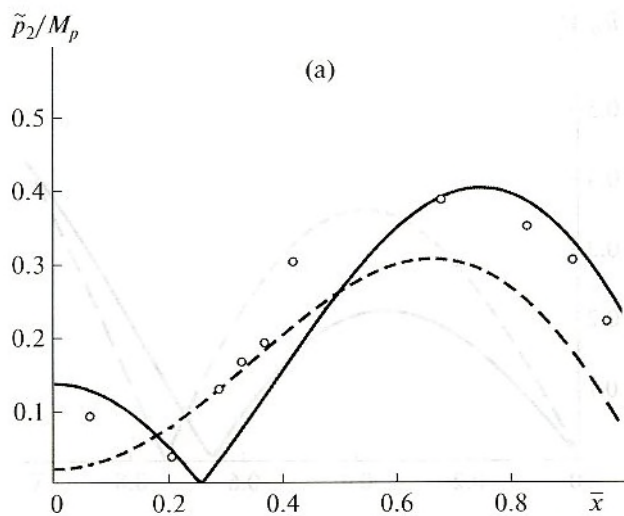


Рис. 3. Распределение давления \tilde{p}_2/M_p по длине трубы для $L_0 = 1.7065$ м (а) и $L_0 = 1.2864$ м (б). Сплошная линия – теория (29) в случае $b_2 = 0.25$, штриховая линия – теория (29) в случае $b_2 = 0.08$, точки – экспериментальные данные [18].

Резонансная частота определяется из выражения

$$\operatorname{ctg} 3k_0 L(1 + \beta_3') = \frac{(\kappa + 1)}{16b_3} \pi f r_1 (3k_0 L \beta_3' + g r_1), \quad (42)$$

откуда

$$k_0 L(1 + \beta_3') \cong \frac{\pi}{2}. \quad (43)$$

Рассмотрим свойства полученных результатов. На рис. 1 представлена зависимость $\tilde{p}_2(L)/M_p$ от безразмерной частоты $z = (2/\pi)(\omega L_0/c_0)$ для трубы длиной $L_0 = 1.7065$ м с амплитудой смещения

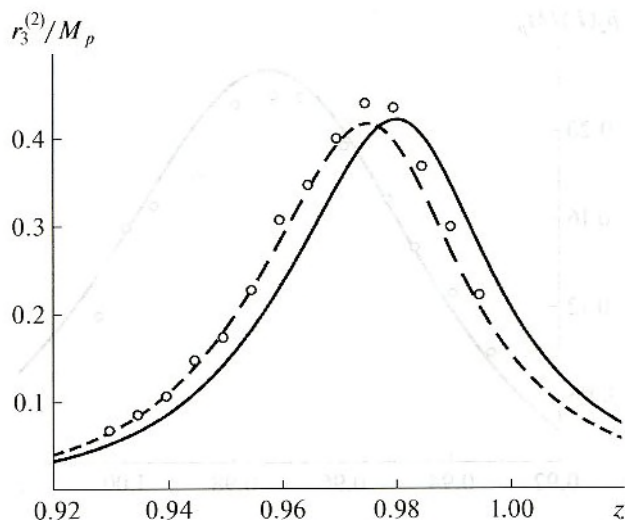


Рис. 4. Зависимость $r_3^{(2)}/M_p$ от безразмерной частоты z . Сплошная линия – теория (41) в случае $\sigma_0 = 0.6133$, штриховая линия – теория (41) в случае $\sigma_0 = 1.5$, точки – экспериментальные данные [18].

поршня $l_0 = 2.90$ мм. Сплошная линия соответствует теории, построенной по второму выражению в (28) при $b_2 = 0.25$, точки – экспериментальные результаты из [18]. Наблюдается хорошее качественное и количественное согласование результатов.

Распределения скорости по длине трубы для $L_0 = 1.7065$ м и $L_0 = 1.2864$ м соответственно даны на рис. 2а, 2б. Здесь сплошные линии – теория по первому выражению в (29) при $b_2 = 0.25$, штриховые линии – расчет по (29) в случае $b_2 = 0.08$. Видно, что для $b_2 = 0.08$ максимум амплитуды колебаний скорости оказывается в полтора раза больше, чем для $b_2 = 0.25$, кроме того, и минимум, и максимум для меньшего значения b_2 оказываются смещенными в сторону открытого конца трубы. Сравнение рис. 2а и рис. 2б также показывает, что в случае более короткой трубы амплитуда колебаний скорости несколько выше, чем в более длинной трубе.

Эпюры давления для двух длин труб $L_0 = 1.7065$ м и $L_0 = 1.2864$ м, представлены на рис. 3а и рис. 3б соответственно. Сплошная линия – теоретический расчет по второму выражению в (29) при $b_2 = 0.25$, штриховая линия – теория при $b_2 = 0.08$, точки – экспериментальные данные [18]. Видно хорошее качественное согласование теории и эксперимента. Теория при $b_2 = 0.08$ лучше согласуется с экспериментом на второй четверти, однако при приближении к открытому концу трубы расхождения возрастают. Для теоретических данных, рассчитанных при $b_2 = 0.25$, наоборот, во второй четверти трубы наблюдаются существен-

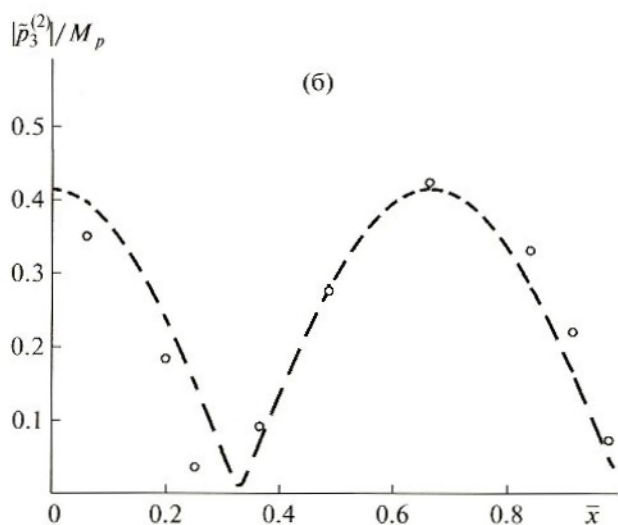
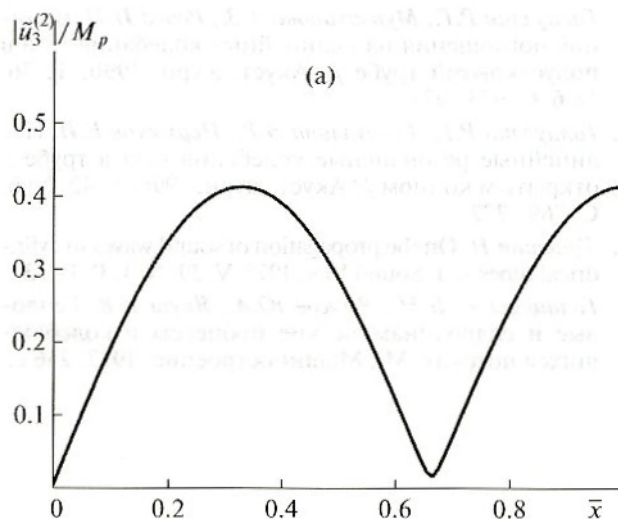


Рис. 5. Распределения скорости $|u_3^{(2)}|/M_p$ (а) и давления $|p_3^{(2)}|/M_p$ (б) по длине трубы при $L_0 = 1.7065$ м. Сплошные линии – теория (35), точки – экспериментальные данные [18].

ные количественные расхождения, при приближении же к открытому концу согласование с экспериментом становится удовлетворительным.

На рис. 4 представлена зависимость $r_3^{(2)}/M_p$ от безразмерной частоты $z = (2/\pi)(\omega L_0/c_0)$. Сплошная линия – результат расчета по (41) при $\sigma_0 = 0.6133$, штриховая линия – расчет по (41) при $\sigma_0 = 1.5$, точки – экспериментальные данные [18]. Видно хорошее качественное совпадение, при этом количественное совпадение лучше в случае, когда $\sigma_0 = 1.5$.

На рис. 5а и рис. 5б сплошными линиями представлены эюры скорости $|u_3^{(2)}|/M_p$ по (34) и давления $|p_3^{(2)}|/M_p$ по (35) соответственно, точками – экспериментальные данные [18] при $L_0 = 1.7065$ м. Видно достаточно хорошее качественное и количественное совпадение результатов.

Для проверки принятых допущений оценим значение числа Струхаля Sh для условий проведенных расчетов. Подставляя рассчитанные значения скорости колебаний газа на открытом конце трубы для соответствующих параметров, имеем $Sh \approx 0.18$. Таким образом, условие $Sh \ll 1$ выполняется.

СПИСОК ЛИТЕРАТУРЫ

1. Roh H.S., Arnott W.P., Raspet R., Sabatier J.M. Measurement and calculation of acoustic propagation constants in arrays of small air-filled rectangular tubes // J. Acoust. Soc. Am. 1991. V. 89. № 6. P. 2617–2623.
2. Kordomenos J., Atchley A.A., Raspet R., Bass H.E. Experimental study of a thermoacoustic termination of a traveling-wave tube // J. Acoust. Soc. Am. 1995. V. 98. № 3. P. 1623–1628.
3. Peat K.S. Convected acoustic wave motion along a capillary duct with an axial temperature gradient // J. Sound Vib. 1997. V. 203. № 5. P. 855–866.
4. Руденко О.В., Солюян С.И. Теоретические основы нелинейной акустики. М.: Наука, 1975. 287 с.
5. Ilgamov M.A., Zaripov R.G., Galiullin R.G., Repin V.B. Nonlinear oscillations of a gas in a tube // Appl. Mech. Rev. 1996. V. 49. № 3. P. 137–154.
6. Гурбатов С.Н., Руденко О.В., Саичев А.И. Волны и структуры в нелинейных средах без дисперсии. Приложения к нелинейной акустике. М.: Физматлит, 2008. 496 с.
7. Rudenko O.V. Nonlinear standing waves, resonance phenomena, and frequency characteristics of distributed systems // Acoust. Phys. 2009. V. 55. № 1. P. 27–54.
8. Merkli P., Thomann H. Thermoacoustic effect in a resonance tube // J. Fluid Mech. 1975. V. 70. № 1. P. 161–175.
9. Rott N. Thermoacoustics // Adv. Appl. Mech. 1980. V. 20. P. 135–175.
10. Галиуллин Р.Г., Тимохина Л.А., Филипов С.Е. Акустические течения при резонансных колебаниях газа в цилиндрической трубе // Акуст. журн. 2001. Т. 47. № 5. С. 611–615.
11. Галиуллин Р.Г., Тимохина Л.А., Филипов С.Е. Вторичные течения при распространении волн в узких трубах // Акуст. журн. 2003. Т. 49. № 2. С. 281–283.
12. Ткаченко Л.А., Сергиенко М.В. Резонансные колебания газа в открытой трубе в безударно-волновом режиме // Акуст. журн. 2016. Т. 62. № 1. С. 44–51.
13. Keller J.J. Subharmonic non-linear acoustic resonances in open tubes. Part I. Theory // ZAMP. 1977. V. 28. № 3. P. 419–431.
14. Ткаченко Л.А. Нелинейные колебания газа в открытой трубе при негармоническом возбуждении // Акуст. журн. 2014. Т. 60. № 2. С. 160–165.

